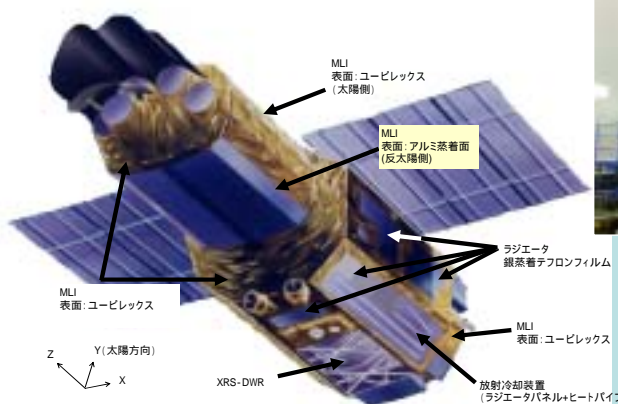


# 太陽光吸収率の入射角度依存性 全半球放射率の温度依存性 測定・推算・設計

宇宙科学研究所 / JAXA 大西 晃

1

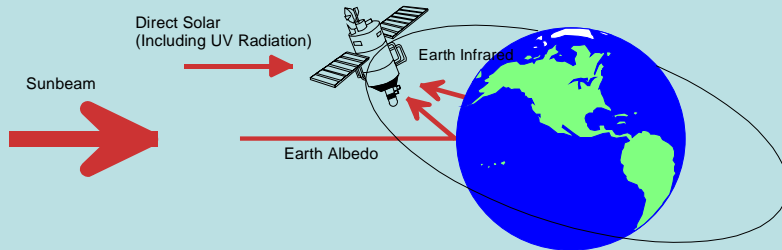
X線天文衛星  
**すざく** 2005.7



- 重量 1.7ton
- 全高 6.5m
- 全幅 5.4m

2

# 地球周りの熱環境



3

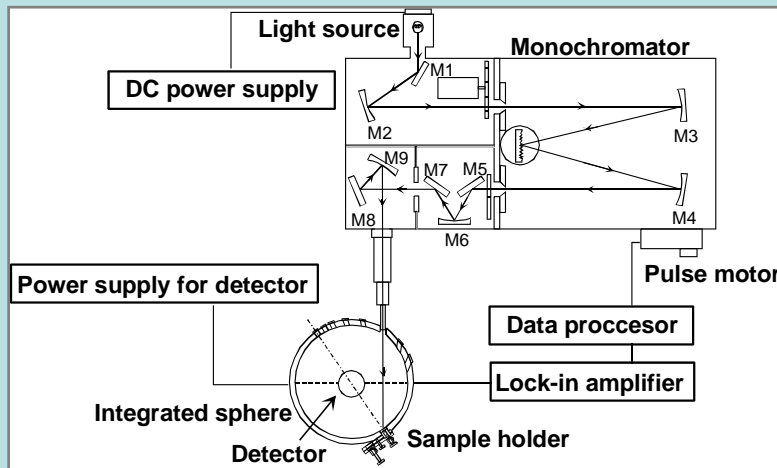
## 太陽光吸收率

$$\alpha_s(\theta) = \frac{\int_{0.26}^{2.5} \{1 - R_{ab}(\lambda, \theta)\} \cdot J_s(\lambda) d\lambda}{\int_{0.26}^{2.5} J_s(\lambda) d\lambda}$$

$\alpha_s$	Solar absorptance
$R$	Spectral reflectance
$J_s$	Solar spectral irradiance
	Spectral
	Incidence angle

4

# 分光透過率・反射率測定装置



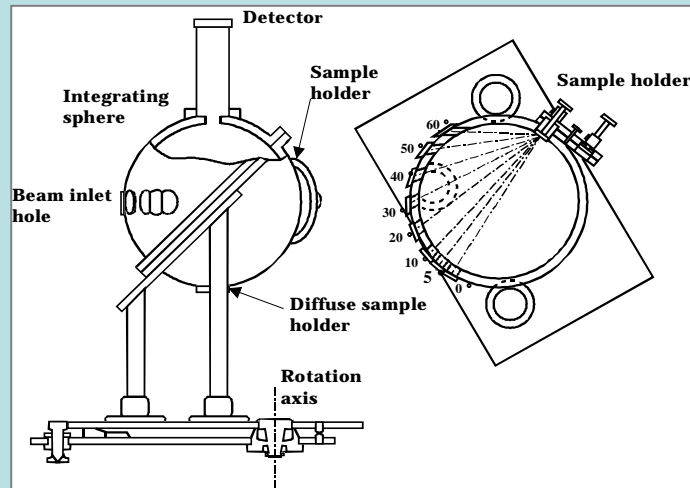
5

# 分光透過率・反射率測定装置



6

# 入射角可变積分球



7

## 積 分 球

Diameter	300 mm
Incident Angle (deg)	0, 5, 10, 20, 30, 40, 50, 60
Inner Surface	Barium sulfate
Reference Sample	Spectralon(SRS-99)

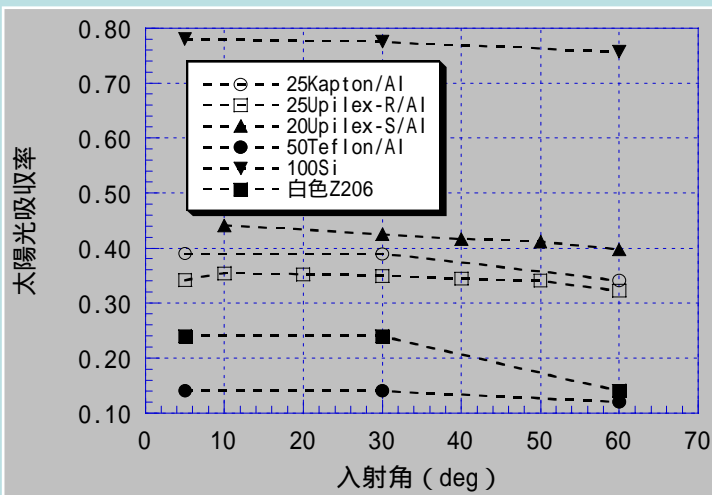
8

## システムデザイン

Wavelength Range	0.26 ~ 2.50 $\mu\text{m}$
Detectors	
-Photo multipliers	0.26 ~ 1.20 $\mu\text{m}$
-PbS	1.20 ~ 2.50 $\mu\text{m}$
Overall Uncertainty	$\pm 2.0 \sim 3.0 \%$

9

## 太陽光吸收率入射角度依存性

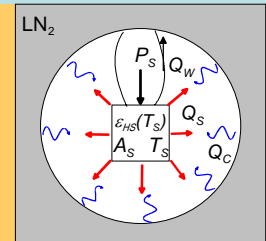


10

# 全半球放射率

$$\varepsilon_{HS}(T_s) = \frac{P - Q_w}{\sigma \cdot A_s (T_s^4 - T_w^4)} - \frac{A_{Al}}{A_s} \cdot \varepsilon_{HAL}(T_s)$$

$P_s$	Input power
$Q_w$	Lead wires heat loss
$T_s$	Sample temperature
$T_w$	Inner surface temperature
$A_s$	Sample surface area

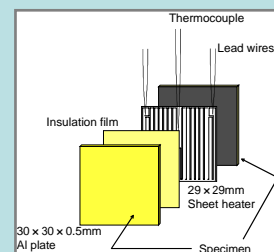
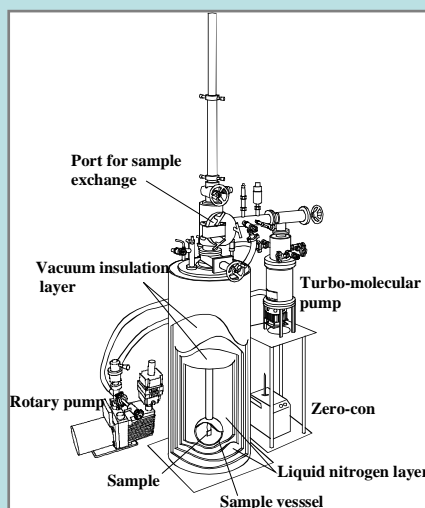


$P_s$  : Power input to the sample  
 $Q_s$  : Energy radiated from the sample  
 $Q_c$  : Energy radiated from the inner surface of the enclosure  
 $Q_w$  : Heat loss of the sample through lead wires (Including Joule's heat of lead wires)

11

# 全半球放射率測定装置

173-700K



12

# 全半球放射率測定装置

173-700K



13

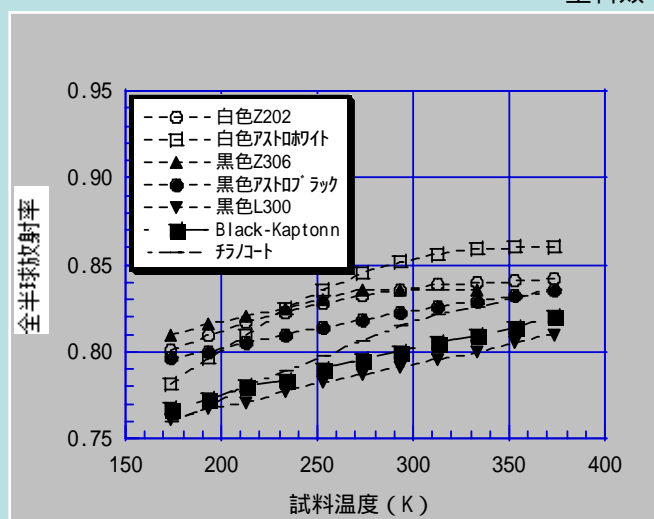
## システムデザイン

Temperature Range	173 ~ 700 K
Measurement Room	Copper
Inside Diameter	250 mm
Inside Face	Black paint
Overall Uncertainty	± 2.0 ~ 3.0 %

14

## 全半球放射率

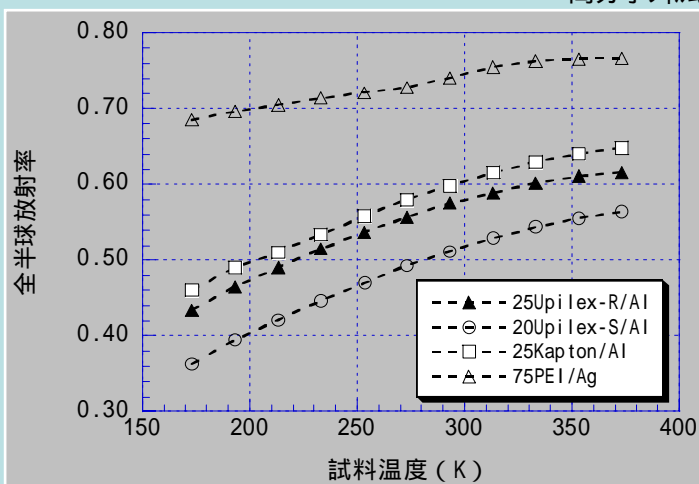
塗料類



15

## 全半球放射率

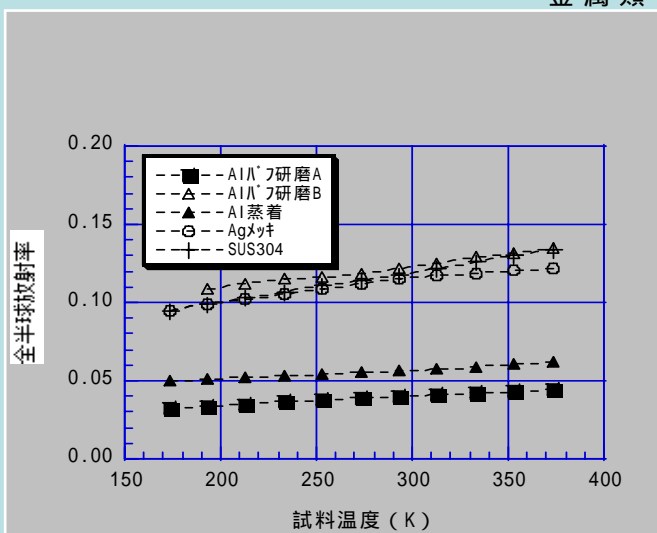
高分子フィルム



16

# 全半球放射率

金屬類



17

## 分光法による 放射率の算出

波長範囲 : 1.0 ~ 100 μm

温度範囲 : 173 ~ 373K



$$\varepsilon_H(T) = \frac{\int_0^{\pi/2} \int_{0.25}^{100} \{1 - R(\lambda, \theta)\} \cdot i_b(\lambda, T) \cos \theta \sin \theta d\lambda d\theta}{\int_0^{\pi/2} \int_{0.25}^{100} i_b(\lambda, T) \cos \theta \sin \theta d\lambda d\theta}$$

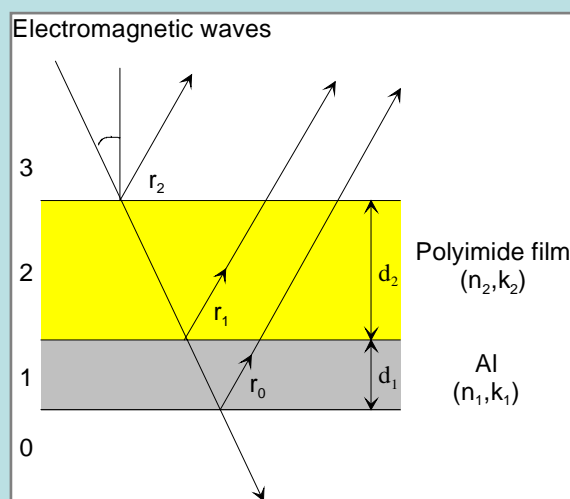
18

# 太陽光吸收率・全半球放射率 推 算

- ・測定装置の健全性
- ・熱制御材料の設計評価

19

## 推算例



20

# 推算フロー

Input data



Calculation of  
spectral reflectance



Calculation of  
 $S$  and  $H$

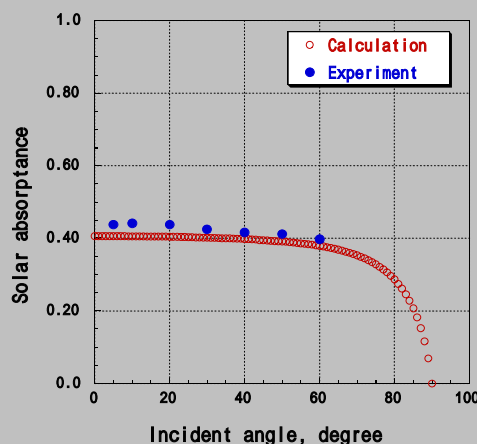
- Design composition of thermal control films
- Optical constants
  - refractive index : n
  - extinction coefficient :
  - thickness of base films
  - deposited metal

- Incident angle region  
0 ~ 90 °
- Temperature range  
173 ~ 773 K

21

# 推算結果

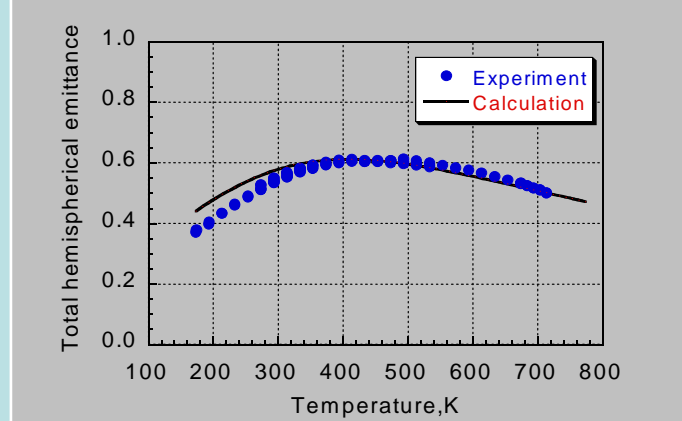
太陽光吸収率



22

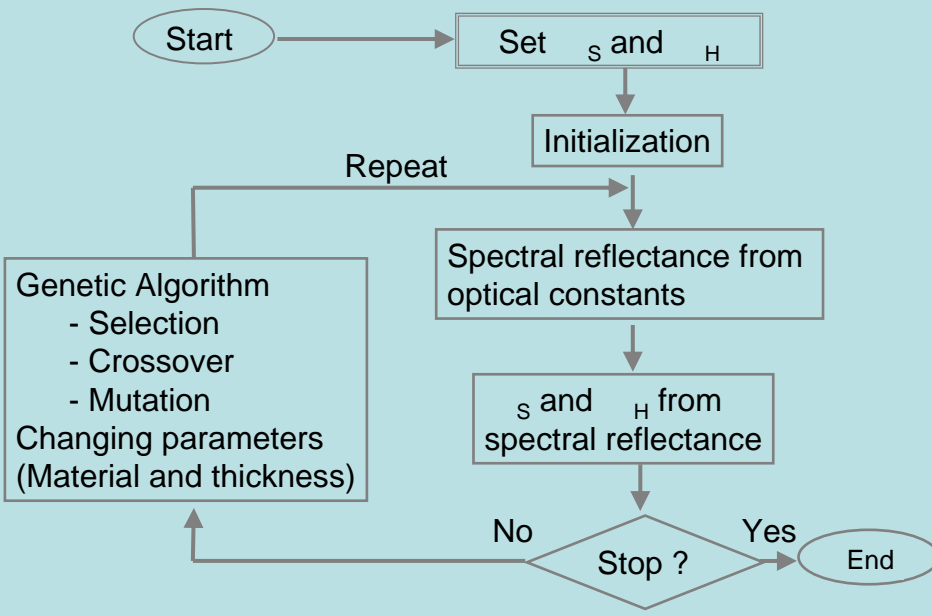
# 推算結果

全半球放射率



23

# 多層薄膜の設計



## 設計パラメータ

Population	20
Generation	5000
Tournament Selection +Elite Preserving Selection	
Tournament Size	4
One-point Crossover	
Probability of Crossover	0.8
Probability of Mutation	0.1
Candidate Materials	a-Si, CaF <sub>2</sub> , Ge, LiF, MgF <sub>2</sub> , SiO <sub>2</sub> , ZnS, ZnSe
Range of Thickness	0 ~ 300 nm
Maximum Number of layer	10
Target <sub>s</sub>	0.20
Target <sub>H</sub>	0.40

25

## 可変放射率素子



	Composition
Type1	La <sub>0.825</sub> Sr <sub>0.175</sub> MnO <sub>3</sub>
Type2	La <sub>0.7</sub> Ca <sub>0.3</sub> MnO <sub>3</sub>
Type3	La <sub>0.775</sub> Sr <sub>0.115</sub> Ca <sub>0.11</sub> MnO <sub>3</sub>

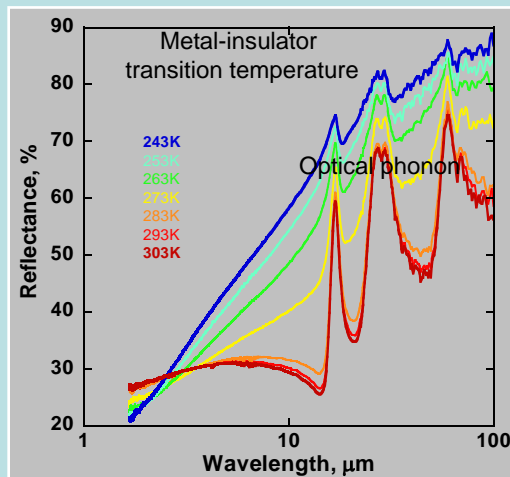
Size : 40mm × 40mm × t70μm

Weight : 1.2 g/piece

26

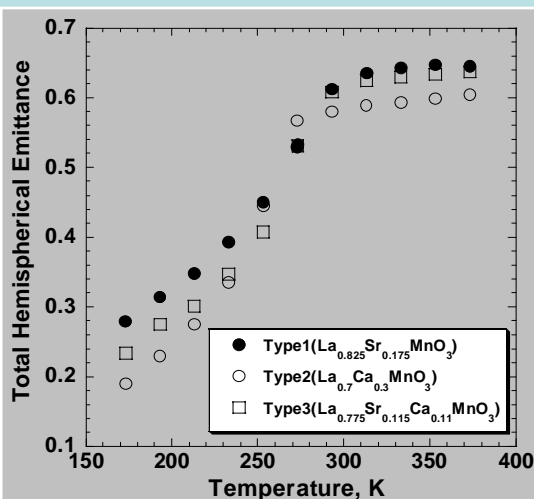
# 分光反射率温度依存性

$\text{La}_{0.775}\text{Sr}_{0.115}\text{Ca}_{0.11}\text{MnO}_3$



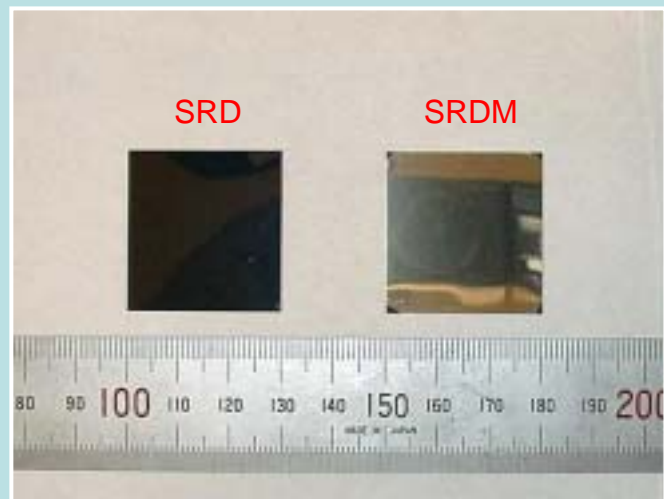
27

# 全半球放射率



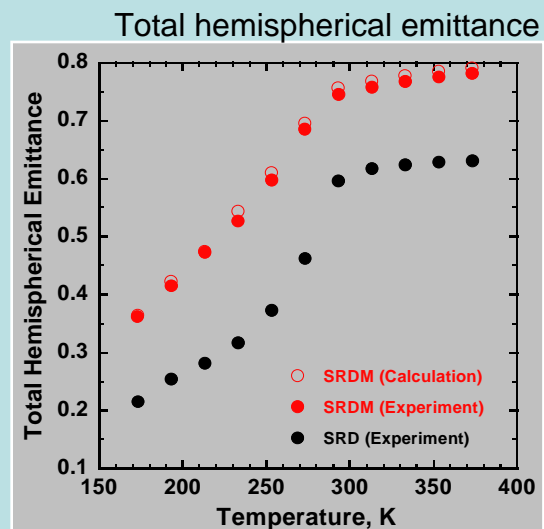
28

## 多層薄膜付SRD



29

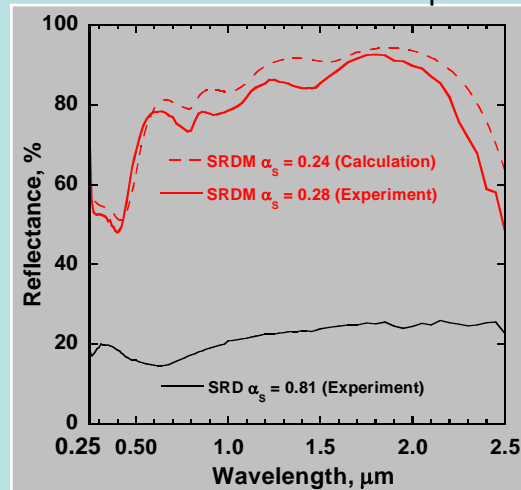
## 設計結果



30

## 設計結果

Solar absorptance



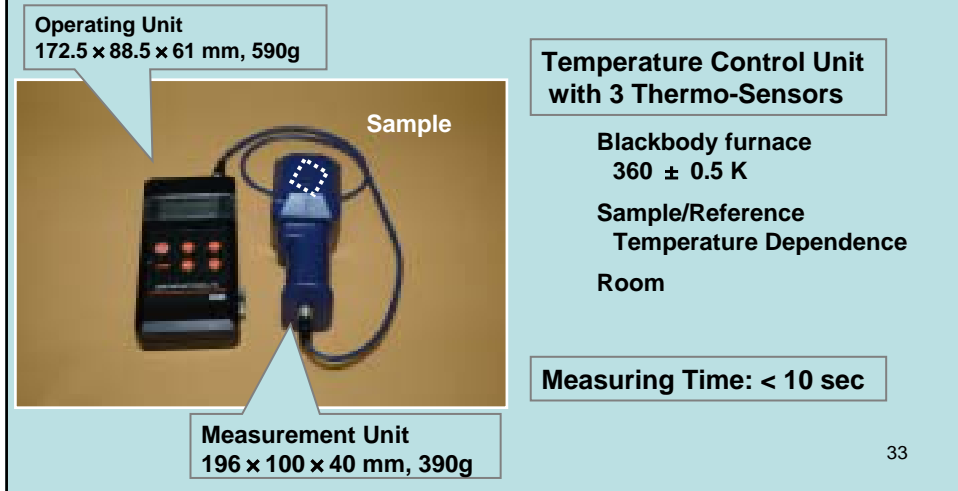
31

## ポータブル測定装置

太陽光級数率・全半球放射率

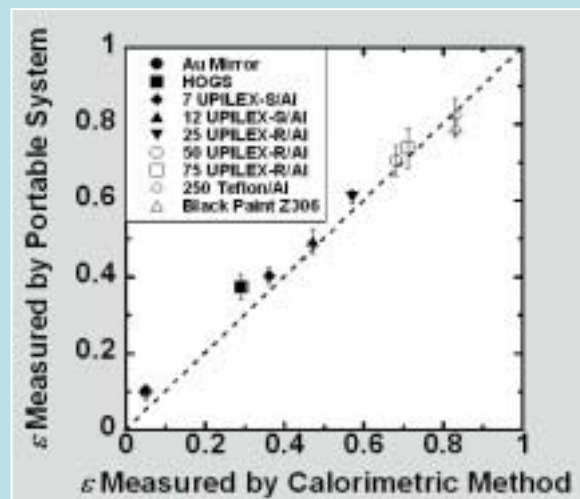
32

# ホークル放射率測定装置



33

## 測定結果



34

# 赤° - タブル太陽光吸収率測定装置

0.26 ~ 2.6  $\mu\text{m}$



35